

**Karty a bezpečnostní zařízení pro osobní
identifikaci – Bezkontaktní objekty s vazbou
na blízko –
Část 2: Radiofrekvenční výkonové a signálové
rozhraní**

**ČSN
ISO/IEC 14443-2
OPRAVA 2**

36 9760

Corrigendum

Tato oprava ČSN ISO/IEC 14443-2:2021 je českou verzí opravy ISO/IEC 14443-2:2020/Cor.2:2023-09. Překlad byl zajištěn Českou agenturou pro standardizaci. Má stejný status jako oficiální verze.

This Corrigendum to ČSN ISO/IEC 14443-2:2021 is the Czech version of the Corrigendum ISO/IEC 14443-2:2020/Cor.2:2023-09. It was translated by the Czech Standardization Agency. It has the same status as the official version.

MEZINÁRODNÍ NORMA

Karty a bezpečnostní zařízení pro osobní identifikaci – Bezkontaktní objekty s vazbou na blízko – Část 2: Radiofrekvenční výkonové a signálové rozhraní

ISO/IEC 14443-2:2020
TECHNICKÁ OPRAVA 2
Vydána 2023-09

ICS 35.240.15

Technickou opravu 2 k ISO/IEC 14443-2:2020 vypracovala společná technická komise ISO/IEC JTC 1 *Informační technologie*, subkomise SC 17 *Karty a bezpečnostní zařízení pro osobní identifikaci*.

V článku 8.2.2.3 se celý text před obrázkem 13 nahrazuje takto:

Pro každou periodu pomocné nosné:

- je \emptyset_{LM} definováno jako argument všech rozdílů mezi úseky ve výskytu MS1 a odpovídajících úsecích ve výskytu MS2 v téže periodě pomocné nosné, jak je ilustrováno na obrázku 13;
- se vyskytuje absolutní maximum a absolutní minimum z \emptyset_{LM} ; \emptyset'_{LM} je definováno tak, že se vyskytuje jako první, \emptyset''_{LM} je definováno tak, že se vyskytuje jako druhé, pak

$$\Delta\emptyset_{LM} = \emptyset''_{LM} - \emptyset'_{LM};$$

- pokud je $\emptyset_{LM-left}$ absolutní maximum rozdílu mezi \emptyset'_{LM} a jakýmkoliv \emptyset_{LM} , které se vyskytuje před \emptyset'_{LM} a $\emptyset_{LM-right}$ je absolutní maximum rozdílu mezi \emptyset''_{LM} a jakýmkoliv \emptyset_{LM} , které se vyskytuje po \emptyset''_{LM}

$$\emptyset_{LMsecond} = \max(\emptyset_{LM-left}; \emptyset_{LM-right});$$

- jestliže je $(\emptyset_{LMsecond} / \text{abs}(\Delta\emptyset_{LM})) > 0,8$, potom je $\Delta\emptyset_{LM-E}$ definováno jako absolutní maximum změn fáze a $\Delta\emptyset_{LM}$ je nastaveno na hodnotu 0; jinak je $\Delta\emptyset_{LM}$ definováno jako maximální změna fáze se znaménkem a $\Delta\emptyset_{LM-E}$ je nastaveno na hodnotu 0.

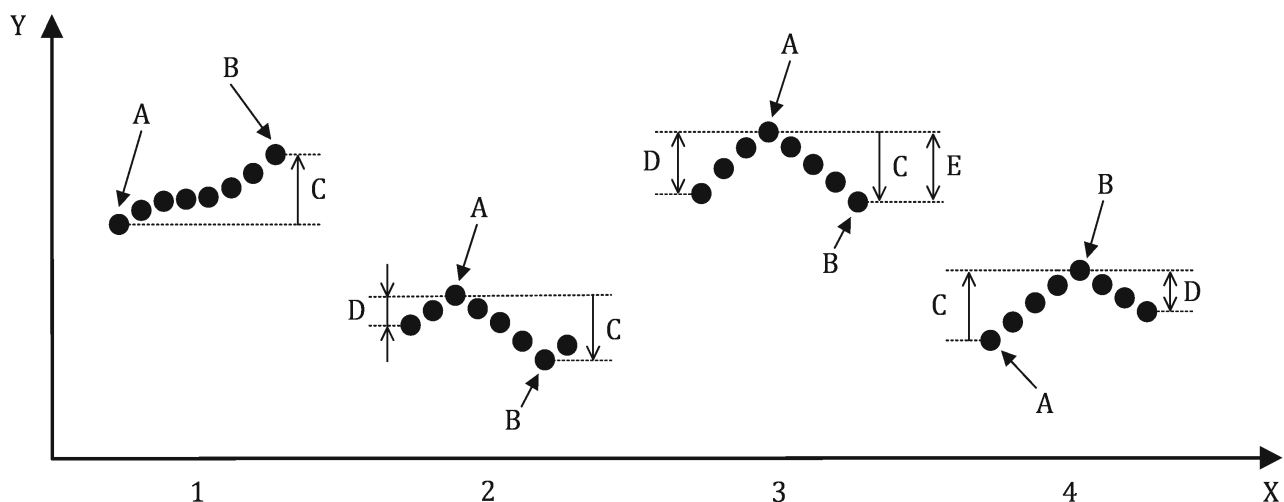
Obrázek 14 je ilustrací \emptyset_{LM} , \emptyset'_{LM} , \emptyset''_{LM} , $\Delta\emptyset_{LM}$, $\emptyset_{LMsecond}$ a $\Delta\emptyset_{LM-E}$.

Mezistavový fázový drift je definován jako:

- $\emptyset_{LM, INTRA} = \max(\max(\max(\Delta\emptyset_{LM}); 0) - \min(\min(\Delta\emptyset_{LM}); 0); \max(\Delta\emptyset_{LM-E}))$

kde $\max(\Delta\emptyset_{LM})$ je maximum z $\Delta\emptyset_{LM}$ počítané přes všechny výskyty period pomocné nosné a $\min(\Delta\emptyset_{LM})$ je minimum z $\Delta\emptyset_{LM}$ počítané přes všechny výskyty period pomocné nosné.

V článku 8.2.2.3 se obrázek 14 nahrazuje takto:



Legenda

X cykly pomocné nosné (přechody mezi modulovanými stavy se neuvažují)

Y \varnothing_{LM} (jedna tečka představuje jeden úsek \varnothing_{LM})

A \varnothing'_{LM}

B \varnothing''_{LM}

C $\Delta\varnothing_{LM}$

D $\varnothing_{LMsecond}$

E $\Delta\varnothing_{LM-E}$

Obrázek 14 – Diagram v časové doméně průběhu části odezvy PICC, ukazující \varnothing_{LM}

V článku 8.2.5.1 se tabulka 24 nahrazuje takto:

Tabulka 24 – Meze amplitudové zátěžové modulace pro příjem PCD

Třída PICC	$V_{LMA, min, PCD}$ mV (vrcholová hodnota)	$V_{LMA, max, PCD}$ mV (vrcholová hodnota)	Frekvence pomocné nosné	Referenční PICC	Zkušební sestava PCD
1	$20/H^{0.5}$	110 mV	$f_c/16$ > $f_c/16$	aktivní referenční PICC 1 referenční PICC 1	zkušební sestava PCD 1
2	$\min(12,5 ; 20/H^{0.5})$	100 mV	$f_c/16$ > $f_c/16$	aktivní referenční PICC 2 referenční PICC 2	zkušební sestava PCD 1
3	$\min(12,5 ; 20/H^{0.5})$	90 mV	$f_c/16$ > $f_c/16$	aktivní referenční PICC 3 referenční PICC 3	zkušební sestava PCD 1
4 (volitelně)	$\min(16 ; 36/H^{0.5})$	110 mV	$f_c/16$ > $f_c/16$	aktivní referenční PICC 4 referenční PICC 4	zkušební sestava PCD 2
5 (volitelně)	$\min(13 ; 31/H^{0.5})$	100 mV	$f_c/16$ > $f_c/16$	aktivní referenční PICC 5 referenční PICC 5	zkušební sestava PCD 2
6 (volitelně)	$\min(6 ; 23/H^{0.5})$	90 mV	$f_c/16$ > $f_c/16$	aktivní referenční PICC 6 referenční PICC 6	zkušební sestava PCD 2

U p o z o r n ě n í : Oznámení o změnách, opravách a nově vydaných normách jsou uveřejňována ve Věstníku Úřadu pro technickou normalizaci, metrologii a státní zkušebnictví.

Vaše názory, podněty a připomínky týkající se technických norem a zájmu o možnou účast v procesech technické normalizace lze zasílat na e-mailovou adresu info@agentura-cas.cz.

ČSN ISO/IEC 14443-2 OPRAVA 2



518335

Vydala Česká agentura pro standardizaci na základě ustanovení § 5 odst. 2 zákona č. 22/1997 Sb.
Rok vydání 2024, 4 strany
Cenová skupina 998